

СПЕКТРОГЕЛИОСКОПИЧЕСКИЕ НАБЛЮДЕНИЯ НА ГОРЕ КАНОБИЛИ

К. Г. ЗАХАРИН

В марте 1937 г. на Абастуманской Обсерватории был установлен спектрогелиоскоп стандартного образца Hale'a, изготовленный фирмой Howell and Sherrburne (Pasadena). Спектрогелиоскоп установлен в выстроенном специально для него павильоне, состоящем из помещения для инструмента, рабочего кабинета и проявительной комнаты. Помещение инструмента затемнено, в потолке и полу устроены жалюзи, способствующие быстрому выравниванию температуры. Целостат спектрогелиоскопа установлен на каменном фундаменте вне помещения, к югу от него. Павильон спектрогелиоскопа окружен со всех сторон сосновым лесом.

Спектрогелиоскоп был установлен механиком Обсерватории В. В. Вихровым. Юстировка инструмента выполнена в апреле 1937 г. Е. К. Харадзе, К. Г. Захарином и Ш. М. Чхандзе. Тогда же были начаты опытные наблюдения.

Уже при установке и юстировании были обнаружены конструктивные дефекты и неудовлетворительное выполнение инструмента. В частности оказалось совершению невозможным удовлетворительно отрегулировать ход часового механизма, несоответствующего своему назначению из-за чрезмерной примитивности. Правда, неправильность часового хода относительно мало влияет на визуальные наблюдения, но чрезвычайно затрудняет спектрофотирование. Наши попытки получить удовлетворительные спектрограммы не привели к положительным результатам.

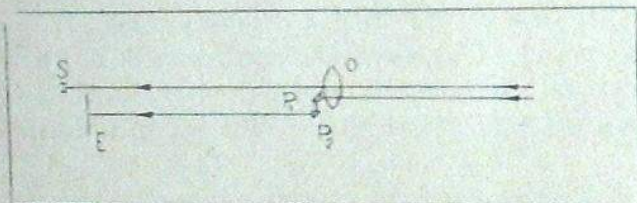
Очевидно, для использования гелиографического приспособления инструмента необходимо заменить имеющийся целостат точным.

Кроме этого основного недостатка спектрогелиоскопа следует указать на неудобство установки призм Anderson'a, неудовлетворительность изготовления отдельных деталей: микрометрических ключей, щелей и т. д.

Спектрогелиоскоп стандартного образца и методы работы с ним описаны подробно в работах Hale'a¹. В настоящей заметке мы напомним лишь об основных характеристиках этого прибора.

Зеркало пелостата имеет в диаметре 14 см. Солнечные лучи, отражаясь от него, падают на вспомогательное зеркало, отбрасывающее их на объектив, диаметр которого 10 см, а фокусное расстояние — 5,5 м. Объектив этот дает на первой щели спектрографа изображение Солнца диаметром в 5 см. Первая щель спектрографа находится в главном фокусе вогнутого сферического зеркала ($d=8$ см, $f=4$ м). Последнее направляет лучи Солнца параллельным пучком на плоскую дифракционную решетку 6×8 см, содержащую 600 штрихов в 1 мм. Спектр Солнца, полученный после отражения от решетки, фокусируется посредством второго вогнутого зеркала на вторую щель. Последняя выделяет для наблюдения определенный узкий участок спектра (обычно линия H_{α} в спектре первого порядка). Получаемая дисперсия равна 4 \AA в 1 мм.

Опыт работы на спектрографе обнаружил необходимость некоторых переделок и дополнений. Так, например, для грубого определения размеров деталей поверхности Солнца в конце окулярной трубы была установлена шкала. Благодаря большой глубине фокуса второго вогнутого зеркала, шкала и изображение Солнца видны одновременно одинаково резко. Цена деления шкалы определена несколько раз по прохождению диска Солнца; она оказалась равной $26''$.



Черт. 1 Fig.

Для определения координат деталей мы избрали нижеописанный способ: за объективом спектрографа установлены две небольшие призмы P_1 и P_2 (черт. 1), дающие изображение Солнца на боковой поверхности среднего фундаментального столба спектрографа, несколько ниже и левее лимба лайн-шифтера (line-shifter). При этом качество основного изображения и его яркость чувствительно не изменяются. Второе изображение Солнца проектируется на вертикально расположенный экран E с миллиметровой сеткой. На сетке определяется точка, соответствующая центру поля спектрографа, для чего в центр поля (отмеченный крестиком на шкале) приводится какое-либо небольшое пятно и отсчитывается его положение на сетке (в случае полного отсутствия пятен на Солнце положение центра может быть определено из наблюдений краев Солнца). Далее, для определения координат любой видимой в спектрографе детали, ее необходимо привести в центр и произвести отсчеты по краям солнечного диска на сетке. Можно отсчитывать все четыре края, но как показал опыт, достаточно без ущерба для

изображение Солнца на боковой поверхности среднего фундаментального столба спектрографа, несколько ниже и левее лимба лайн-шифтера (line-shifter). При этом качество основного изображения и его яркость чувствительно не изменяются. Второе изображение Солнца проектируется на вертикально расположенный экран E с миллиметровой сеткой. На сетке определяется точка, соответствующая центру поля спектрографа, для чего в центр поля (отмеченный крестиком на шкале) приводится какое-либо небольшое пятно и отсчитывается его положение на сетке (в случае полного отсутствия пятен на Солнце положение центра может быть определено из наблюдений краев Солнца). Далее, для определения координат любой видимой в спектрографе детали, ее необходимо привести в центр и произвести отсчеты по краям солнечного диска на сетке. Можно отсчитывать все четыре края, но как показал опыт, достаточно без ущерба для

точности отсчитывать лишь два края (например, нижний и левый). Тогда прямоугольные координаты детали (считая начало координат в центре Солнца) выражаются следующим образом:

$$x = (x_c - R_{\odot}) - x_k,$$

$$y = (y_c - R_{\odot}) - y_k,$$

где x_c , y_c — координаты центра, x_k , y_k — отсчеты по краям (левому и нижнему), R_{\odot} — радиус изображения Солнца.

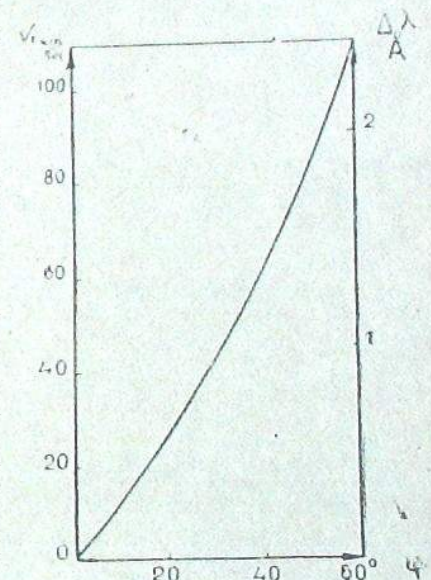
Поправка за наклон осей получается следующим образом: наблюдая прохождение какого-либо пятна при остановленном механизме, определяется тангенс угла между суточной параллелью и осью абсцисс. Переход к полярным координатам производится при помощи простого приспособления, состоящего из круга, разделенного на градусы, и вращающихся по нему диска с миллиметровой сеткой и миллиметровой шкалой. Диск поворачивается на угол наклона, затем на нем находится точка x , у данной детали и на круге и шкале отсчитываются соответствующие полярные координаты p , r .

Переход к гелиографическим координатам производится с помощью номограмм.

Хроматическая aberrация объектива уменьшает резкость второго изображения Солнца. Однако, применяя фильтр и лупу, можно легко отсчитывать координаты до 0.2 мм при нормальном спокойствии изображения.

Для калибровки лайн-шифтера, служащего для измерения относительных лучевых скоростей, было использовано несколько резких линий около H_{α} . Полученная кривая зависимости лучевой скорости от угла поворота лайн-шифтера приведена на черт. 2.

Ниже мы публикуем спектрографические наблюдения в линии H_{α} за время с 1 сентября 1937 г. по 1 июля 1938 г. До января 1938 г. наблюдения велись нерегулярно и регистрировались лишь особо выдающиеся образования. С 1 января 1938 г. мы приступили к планомерным наблюдениям светлых и темных водородных флокул, волокон и протуберанцев. Наблюдения ведутся по программе Всесоюзной Комиссии по Изучению Солнца.



Черт. 2 Fig.

Наблюдения представлены в виде двух таблиц: таблицы длительно существующих образований и протуберанцев и таблицы кратковременных образований.

В группу длительно существующих образований включены светлые флоккулы (СФ), темные флоккулы (ТФ) и волокна (В).

Форма протуберанцев (*f*) выражена в индексах, имеющих следующие значения: 1—стеляющаяся, «травянистая»; 2—компактная, близкая к полукруглой; 3—разветвленная; 4—дугобразная; 5—отделвшаяся.

Координаты φ , l даются в системе Carrington'a. Позиционные углы $-p$ отсчитываются от N к W. Площадь деталей—*S* дается в миллионных долях поверхности полусфера Солнца. Интенсивность *I* оценивается глазомерно по пятибалльной шкале*. Начало и конец наблюдений (t_1 и t_2) даны по среднему Гриничскому времени. Качество изображений и интенсивность ореола (*q* и *h*) оцениваются по пятибалльной шкале (5—наилучшее изображение; 0—отсутствие ореола).

Для кратковременных образований дается еще лучевая скорость V_r в км/сек . Знак—соответствует приближению к наблюдателю.

Наблюдения вели К. Г. Захарин и Ш. М. Чхайдзе («З» и «Ч» в последнем столбце таблиц).

Июль, 1938.

Литература: Literature:

1. Mt. Wilson Contr. Nos. 388, 1929; 393, 1930; 425, 1931; 434, 1931.

SPECTROHELIOSCOPIC OBSERVATIONS ON MOUNT KANOBI

K. G. ZAKHARIN

(Summary)

In March, 1937 at the Abastumani Observatory a Hale spectrohelioscope made by Howell and Sherburne (Pasadena) has been erected.

Unfortunately, the construction and execution of the instrument are not satisfactory. The clockwork does not secure the adequate work of the coelostat and the use of the heliographic attachment is rendered extremely difficult.

* Автор настоящей заметки сконструировал для измерения интенсивности деталей солнечной поверхности в линии H_2 специальный фотометр, который предполагается изготовить в мастерской Обсерватории к началу будущего года. Описание фотометра составит предмет отдельной статьи.

The tables given below contain the results of observations made between September, 1, 1937, and July 1, 1938. The table of quiescent phenomena and prominences and that of eruptive ones are given separately. The group of quiescent phenomena includes: the bright flocculi (СФ), the dark flocculi (ТФ) and the filaments (В). The form of prominences (*f*) is characterized by indices, having the following meaning: 1—grasslike, trailing; 2—compact, nearing the shape of a semicircle; 3—ramified; 4—arch-shaped; 5—detached. The coordinates φ and l are given in Carrington's system. The position angles $-p$ are reckoned from N to W. The area of details (*S*) is expressed in millionth parts of the hemisphere surface of the Sun. The intensity—*I* is estimated visually using a five-point scale. t_1 and t_2 is the mean Greenwich time corresponding to the begin and the end of observation. The quality of the image and the intensity of the nimbus (*q* and *h*) are given on a five-point scale (5 corresponds to the best image; 0—to the absence of the nimbus).

For eruptive prominences we give also the radial velocity V_r in km/sec , the negative sign corresponding to the motion toward the observer.

The observations were carried out by K. G. Zakharin and Sh. M. Chkhaidze (З and Ч in the last column of the tables).

July, 1938.

ТАБЛИЦА I TABLE

Дата Date	t_1	t_2	q	h	Длительно существующие образования Quiescent phenomena					Протуберанцы Prominences				Набл. Обсерв. Nab. Observ.
					Объект Object	φ	I	I	S	p	S	f	I	
1937 IX. 13	$10^h 25^m$ $10^h 40^m$	2	4		CФ	+10°	111°	1	1000	20°	540	4	1	5
					CФ	+8	135	2	1700	29	230	1	1	5
					CФ	-2	154	1	4000	39	500	3	2	5
					CФ	+12	34	1	770	92	650	2	1	5
					TФ	+14	119	1	390	108	60	5	1	5
										174	310	2	1	5
16	5 20	5 40	2	4	CФ	+12	129	1	2300	358	310	2	1	3
					CФ	-7	126	1	930	13	540	2	1	3
					CФ	+15	107	1	1400	53	50	4	2	3
					CФ	-21	19	1	250	282	930	3	2	3
					CФ	+30	26	1	1900	273	110	4	1	3
					TФ	+16	118	1	350	266	60	5	1	3
										317	50	2	1	3
										214	280	2	1	3
										209	60	4	1	3
										206	140	4	1	3
17	5 20	5 40	2-3	5	CФ	+10	29	1	6200	359	160	2	1	3
					CФ	+13	105	1	3100	57	170	2	1	3
					TФ	+18	115	1	370	280	1900	3	2	3
														3
19	6 10	6 25	2	4	CФ	+11	7	1	610	278	140	5	1	3
					CФ	+14	30	1	760	75	140	4	1	3
					B	-39	328	1	330					3
20	5 05	5 20	2	4	CФ	+18	39	1	860	237	90	5	1	3
					TФ	+25	26	1	150	274	220	2	1	3
					B	-43	11	2	340					3
22	6 00	6 15	2	5	CФ	-17	5		740	265	310	2	2	3
					TФ	+22	22		250	224	320	5	1	3
					B	-44	340		370	82	190	2	2	3
23	5 20	5 35	2	5	CФ	+2	16	1	1300	65	280	1	1	3
					CФ	+46	265	1	1					3
					B	-25	1		360					3
26	7 35	7 55	3	4	B	+24	275	2	250	292	850	3	1	3
					B	-25	300	2	190	305	1400	3	1	3
					B	-25	300	2	190	287	1000	4	1	3
X. 2	5 45	6 50	2	4	CФ	+11	183	2	5800					3
					CФ	+9	142	2	3500					3
					B	+37	173	2	390					3
XI. 12	5 25	5 45	3	3	B	+46	170	2	370	84	540	3	1	3
					B	-27	186	2	200					3
					CФ	+8	41	2	540	247	930	4	1	3
XII. 7	5 12	5 25	3	3	CФ	-19	6	2	150	249	930	4	1	3
									56	2700	1	1	3	3
									234	930	3	1	3	3

ТАБЛИЦА I TABLE

Дата Date	t_1	t_2	q	h	Длительно существующие образования Quiescent phenomena					Протуберанцы Prominences				Набл. Обсерв. Nab. Observ.	
					Объект Object	φ	I	I	S	p	S	f	I		
1938 I. 10	$6^h 30^m$ $6^h 45^m$	2	3		B	-9°	303°	3	80	280°	215	2	2	4	4
					CФ	-3	800	3	650						4
					CФ	-2	140	4	140						4
					B	-2	280	2	280						4
					CФ	-4	370	3	410						4
					B	-3	200	3	200						4
1938 II. 1	$6^h 12^m$ $6^h 28^m$	3	1		CФ	+8	133	4	1050	120	770	2	3	4	4
					CФ	+14	46	2	940	21	740	2	2	4	4
					TФ	+7	24	3	320						4
					B	-9	53	3	250						4
					B	+38	91	3	410						4
															4
1938 III. 1	$6^h 40^m$ $7^h 10^m$	3	1		CФ	+27	294	3	750	8	330	1	2	4	4
					CФ	-25	279	3	750	331	1830	2	3	4	4
					TФ	+11	341	3	200						4
					TФ	-57	28	4	800						4
					B	+27	294	3	750						4
					B	+16	85	3	400						4
1938 IV. 1	$6^h 05^m$ $6^h 45^m$	4	0		CФ	-13	41	3	660	11	415	3	2	4	4
					CФ	-10	46	4	415	342	1200	3	2	4	4
					CФ	-35	326	2	350	83	250	2	2	4	4
					TФ	-23	42	3	5500						4
					TФ	+14	316	4	1000						4
					B	+31	39	3	150						4
1938 V. 1	$6^h 35^m$ $9^h 10^m$	2	3		B	-53	308	3	65						4
					CФ	+38	8	3	540	349	750	3	2	4	4
					CФ	+3	289	3	400	38	250	3	2	4	4
					TФ	+13	298	4	575						4
					B	+33</td									

ТАБЛИЦА I TABLE

Дата Date	t_1	t_2	q	h	Длительно существующие образования Quiescent phenomena				Протуберанцы Prominences				Набл. Observ.	
					Объект Object	φ	I	I'	S	p	S	f	I	
1938 III. 13	6 ^h 40 ^m	7 ^h 05 ^m	2	3	CФ	-38°	217°	2	6000	51°	800	2	2	Ч
					CФ	-3	173	3	300	36	1000	3	2	
					CФ	-15	306	4	450					
					TФ	+23	200	2	540					
					TФ	-7	227	3	300					
					B	-42	231	3	375					
III. 2	8 00	8 25	3	0	B	+25	203	4	550					
					B	+14	11	4	460	330	270	2	3	Ч
					CФ	+12	87	4	620	149	280	2	2	
					CФ	+2	43	2	1560					
					B	+20	72	4	620	18	970	2	3	Ч
					CФ	-12	49	3	1480	155	420	2	4	
3	7 12	7 40	4	0	TФ	-18	349	3	270					
					B	+20	5	4	510					
					B	-12	340	3	370					
					B	-24	281	4	140					
					CФ	+20	294	3	250	267	930	2	4	Ч
					CФ	-15	46	4	870					
4	7 15	7 40	4	0	CФ	+4	71	3	310					
					B	-42	48	4	510					
					B	-14	340	3	280					
					CФ	-28	287	2	1550	266	1360	2	2	3
					B	-12	343	2	770					
					B	+17	7	3	1550					
16	7 50	8 40	3—4	0	CФ	-29	197	2	2500	92	90	2+5	2	3
					CФ	+2	221	2	740	276	180	2+5	2	
					CФ	+20	214	2	760	254	20	2	2	
					CФ	-12	257	3	1300					
					TФ	+17	280	2	60					
					B	-24	174	3	310					
17	7 05	7 30	3	0	B	+34	124	2	150					
					B	-19	242	2	90					
					B	-38	249	2	60					
					CФ	-30	198	3	2250	300	400	2	3	3
					CФ	-3	220	2	620	97	60	2	2	
					CФ	+8	208	2	140					
					CФ	-11	112	3	1950					
					CФ	+9	238	2	280					
					CФ	-16	262	3	1300					
					B	-14	181	2	155					
					B	+12	203	2	620					
					B	+22	139	2	230					
					B	+32	227	2	230					

ТАБЛИЦА I TABLE

Дата Date	t_1	t_2	q	h	Длительно существующие образования Quiescent phenomena				Протуберанцы Prominences				Набл. Observ.	
					Объект Object	φ	I	I'	S	p	S	f	I	
1938 III. 23	7 ^h 25 ^m	7 ^h 40 ^m	2—3	0	CФ	-16°	59°	2	6200	295°	60	2	2	3
					CФ	-8	121	2	2800	31	60	2	2	
					B	+23	97	2	280	265	35	2	2	
					B	+16	128	2	370	85	330	2	3	
					B	+20	172	1	1200					
					B	+8	156	2	580					
25	7 35	7 50	3	1	CФ	-17	62	3	6200	346	90	2	2	3
					CФ	-14	117	1	1550					
					TФ	0	60	2	230					
					B	+22	97	3	460					
					B	+21	127	2	190					
					CФ	-13	62	2	6200	301	140	2	2	
26	7 15	7 30	2—3	1	CФ	+18	124	2	370	302	390	5	2	
					CФ	-24	325	2	270	241	370	2	1	3
					CФ	0	64	2	4600	307	310	2	2	
					TФ	-14	6	2	390	61	120	3	2	
					B	+42	13	2	140					
					B	+20	72	1	22					
IV. 4	6 30	6 50	2	4	B	+22	264	3	460	309	55	2	3	3
					CФ	-12	261	2	1250	314	310	2	3	
					CФ	-24	282	3	3700	12	560	2	2	
					CФ	-7	351	2	3700					
					CФ	-24	6	1	560					
					TФ	-24	284	3	25					
5	10 00	10 15	1	4	TФ	-19	291	2	125					
					B	+29	310	2	155					
					B	+32	343	2	460					
					B	-32	24	1	90					
					B	-52	341	1	140					
					CФ	-20	337	2	1000	258	230	2	3	3
5	10 00	10 15	1	4	CФ	-25	279	3	3500	347	230	2	3	
					CФ	-17	267	2	250	108	60	2	3	
					CФ	-12	256	2	1100					
					B	+15	306	2	45					

ТАБЛИЦА I TABLE

Дата Date					Длительно существующие образования Quiescent phenomena					Протуберанции Prominences				Над. Над.
	t_1	t_2	q	h	Объект Объект	q	t	I	S	p	S	r	I	
1938 IV.10	6 ^{45m}	7 ^{00m}	1	4	СФ СФ В	+28° +25 -16	168° 174 198	5 3 3	250 250 280	316° 258	70 460	1 4	2 4	5
16	6 10	6 30	2	1	СФ СФ СФ СФ СФ В В	-9 +27 -26 +23 +54 -19	80 81 149 182 165 204	2 3 3 3 3 3	190 140 3500 1000 420 80	77 126 137	320 35 230	1 2 3	3 4 2	5
20	9 20	9 50	4	1	СФ СФ СФ СФ ТФ В В	-10 -11 -19 -12 -20 +30 -25	85 66 149 152 64 30 99	4 3 3 2 2 2 3	930 180 1100 370 120 160 110	313	140	2	2	5
21	6 35	7 00	2		СФ СФ СФ СФ	-14 -13 +28 -22	86 67 40 158	3 3 2 3	620 540 260 1200	167	310	3	2	5
22	6 15	6 40	2	5	СФ СФ СФ В	-9 -12 -36 -18	88 83 144 50	3 3 2 2	610 280 370 140	59 71	390 190	1 2	2 2	5
24	6 30	7 00	3	3	СФ В	+8 +17	346 65	3 2	560 110	314 288 106	140 120 310	2 2 1	2 2 2	5
25	7 40	8 12	3	3	СФ В В ТФ СФ ТФ В	-2 +20 +19 +15 -22 -31 -41	2 46 50 81 90 70 37	3 2 2 2 3 3 3	1400 60 310 230 6200 230 150	252 72 112 90 290	150 140 112 90 290	3 2 2 1	2 3 3 2	5
26	6 55	7 25	2—3	4	ТФ ТФ СФ СФ ТФ В В В В	-25 -13 +12 -15 -27 -17 -27 -26 +27	332 355 350 84 57 37 35 37 36	3 2 3 3 2 2 2 2 2	80 60 1200 2500 150 80 100 140 350	269 146 61 154	370 250 190 190	2 3 2 1	4 2 3 3	5

ТАБЛИЦА I TABLE

Дата Date					Длительно существующие образования Quiescent phenomena					Протуберанцы Prominences				Набл. Observ.
	t_1	t_2	q	h	Объект Object	q	t	I	S	p	S	f	I	
1938 IV.27	7 ^h 25 ^m	7 ^h 50 ^m	3	4	$C\phi$	+12°	352°	3	190	333°	320	2	3	Ч
					$C\phi$	+12	344	3	60	356	230	2	2	
					$C\phi$	-17	334	2	90					
					$T\phi$	-- 8	346	2	60					
					B	-25	287	2	60					
					B	-19	281	2	50					
28	5 10	5 35	3	4	$C\phi$	+ 6	320	3	1240	10	325	2	3	Ч
					$C\phi$	+19	17	2	230	333	300	3	4	
					$C\phi$	+14	359	4	155					
					$C\phi$	-30	349	3	155					
					$C\phi$	-10	122	3	140					
					$T\phi$	+ 8	103	2	130					
30	13 10	13 40	4	1	$C\phi$	-28	269	3	155	305	194	2	2	Ч
					$C\phi$	-22	262	4	270	142	302	2	3	
					$C\phi$	-33	255	3	155					
					$C\phi$	+25	258	4	540					
					$C\phi$	+12	288	3	210					
					$C\phi$	+ 7	328	2	140					
					$T\phi$	+25	258	4	95					
					$T\phi$	+10	334	2	140					
					B	-27	343	3	160					
V. 1	5 50	6 20	3	1	$C\phi$	+ 8	342	3	90	20	140	5	2	Ч
					$C\phi$	+ 2	336	3	370	303	50	2	2	
					$C\phi$	+24	258	4	190					
					$C\phi$	-29	269	3	230					
					$C\phi$	-29	260	3	160					
2	5 00	5 30	4	2	$C\phi$	-22	280	2	120	87	310	4	3	Ч
					$C\phi$	-23	261	3	220	248	90	2	3	
					$C\phi$	+ 8	350	2	300	233	440	3	2	
					$C\phi$	+20	276	5	370	331	190	2	3	
					$C\phi$	+21	266	4	310	256	190	2	3	
					$C\phi$	+22	260	4	120	147	370	4	2	
					B	-17	354	3	190					
3	4 45	5 20	3	4	$C\phi$	+ 7	351	2	310	246	540	3	4	Ч
					$C\phi$	-27	286	3	190	282	560	1	3	
					$C\phi$	-23	272	3	230	142	630	2	3	
					$C\phi$	+26	271	4	870					
					$T\phi$	-17	264	3	140					
					$T\phi$	+28	266	3	160					
					$T\phi$	+30	284	3	90					
					$T\phi$	+31	281	2	90					
					B	+16	328	2	160					

ТАБЛИЦА I TABLE

Дата Date					Длительно существующие образования Quiescent phenomena				Протуберанцы Prominences				Набл. Observ.	
	<i>t</i> ₁	<i>t</i> ₂	<i>q</i>	<i>h</i>	Объект Object	<i>q</i>	<i>I</i>	<i>I</i>	<i>S</i>	<i>p</i>	<i>S</i>	<i>f</i>	<i>I</i>	
1938 V.5	6 ^h 40 ^m	7 ^h 15 ^m	2	0	CФ			3	740	340°	840	2	3	Ч
					CФ			3	470	250	930	2	3	
					CФ			2	250					
					CФ			3	270					
					CФ			2	390					
					TФ			3	140					
					TФ			4	130					
					TФ			4	280					
					TФ			3	510					
					B			3	120					
7 13 10 13 35	7 13 10	13 35	2	0	CФ	+160	181°	2	250	330	930	1	2	Ч
					CФ	-36	272	3	1200	3	140	2	2	
					CФ	-6	310	3	370	277	470	1	1	
					CФ	+16	282	3	1700	79	350	3	2	
					TФ	-13	204	2	370	123	140	2	3	
8 7 25 8 00	7 25	8 00	4	1	CФ	-26	206	3	190	332	500	1	3	Ч
					CФ	-9	190	3	390					
					CФ	-24	145	2	280					
					CФ	+44	196	3	540					
					CФ	+15	181	2	100					
					CФ	+14	285	3	250					
					CФ	+16	291	3	250					
					CФ	-34	295	2	100					
					TФ	-26	206	3	190					
					TФ	-17	200	2	120					
9 7 00 7 30	7 00	7 30	4	1	CФ	+44	196	3	470					Ч
					B	+30	179	3	80					
					CФ	+19	159	3	1900	304	370	2	3	
					CФ	+7	181	2	370	5	470	2	3	
					CФ	-7	189	3	2300	250	90	2	3	
					CФ	-28	140	3	430	279	140	2	4	
					CФ	-29	242	3	390					
					TФ	-22	208	2	460					
					TФ	-19	278	3	60					
					TФ	-27	236	2	30					
11 6 40 7 10	6 40	7 10	3	2	B	+6	133	3	50					Ч
					B	+28	181	3	90					
					B	+45	190	2	930					
					B	-34	147	2	930					
					B	-29	169	2	160					
					CФ	-28	119	3	250	353	390	2	3	
					CФ	+16	183	3	560	128	280	3	4	
19 9 30 9 40	9 30	9 40	2	3	CФ	+20	209	2	650					Ч
					CФ	-8	188	3	1500					
					CФ	+23	155	2	1000					
					B	+30	135	2	930					
					B	-36	243	2	120					
					B	+48	191	3	930					

ТАБЛИЦА I TABLE

Дата Date					Длительно существующие образования Quiescent phenomena				Протуберанцы Prominences				Набл. Observ.	
	<i>t</i> ₁	<i>t</i> ₂	<i>q</i>	<i>h</i>	Объект Object	<i>q</i>	<i>I</i>	<i>I</i>	<i>S</i>	<i>p</i>	<i>S</i>	<i>f</i>	<i>I</i>	
1938 V.12	11 ^h 30 ^m	11 ^h 50 ^m	2	5	CФ	-10°	109°	3	990	356°	460	2	3	Ч
					CФ	-28	119	3	370	128	310	3	3	
					CФ	+22	168	2	990					
					CФ	+20	209	2	1100					
					CФ	-8	192	3	1500					
					TФ	+8	187	3	160					
					B	+34	139	3	350					
					B	+48	191	2	740					
					CФ	-7	196	3	740	255	360	3	3	
					CФ	+8	187	3	250	358	970	2	4	
15	7 25	8 00	4	0	CФ	+21	181	3	620					Ч
					CФ	+18	135	2	370					
					CФ	-10	109	3	370					
					CФ	-8	106	3	280					
					CФ	-11	95	3	2300					
17	11 00	11 25	1	5	CФ	+14	127	3	370	68	190	2	4	Ч
					TФ	-22	54	2	110	87	280	1	3	
					TФ	+10	119	3	230					
					B	+43	50	1	90					
					B	+45	130	4	460					
18	4 35	5 10	3	1	CФ	+16	127	3	370	68	190	2	4	Ч
					CФ	-15	160	4	420					
					CФ	-10	108	2	140					
					CФ	-9	99	3	560					
					CФ	-6	91	3	320					
19	9 30	9 40	2	3	CФ	-15	61	3	620					Ч
					CФ	+42	145	2	2500					

ТАБЛИЦА I TABLE

Дата Date	t_1	t_2	q	h	Длительно существующие образования Quiescent phenomena				Протуберанцы Prominences				Набл. Observ.	
					Объект Object	q	I	I	S	p	S	f	I	
1938 V.20	7 ^h 20 ^m	7 ^h 40 ^m	2	0	СФ	0°	62°	3	250	299°	310	3	3	3
					СФ	-39	15	3	740	318	250	2	3	
					СФ	-14	74	3	250	58	140	3	3	
					ТФ	-17	61	3	50	72	850	3	3	
					ТФ	-2	48	2	50					
					B	+6	100	2	310					
					B	+15	16	2	700					
					B	+27	25	3	60					
21	7 20	7 35	3	0	СФ	-28	6	3	250	324	430	2	3	3
					СФ	-18	4	3	320	266	270	1	3	
					СФ	-16	45	2	1400	161	190	4	3	
					СФ	-17	75	2	560	146	220	3	3	
					СФ	-15	106	2	1000					
					ТФ	-21	64	3	120					
					B	+11	20	3	230					
22	6 55	7 15	4	2	СФ	+6	319	2	190	46	190	3	3	3
					СФ	-20	358	2	2300	106	310	3	4	
					СФ	-16	45	3	1100	147	80	1	3	
					СФ	-17	75	3	190	253	190	4	3	
					ТФ	-23	346	2	60					
					ТФ	-21	64	3	50					
					B	+23	37	3	170					
					B	-5	47	3	140					
					B	-44	109	1	220					
					B	+11	20	2	50					
23	7 30	7 45	4	3	СФ	-16	45	3	500	253	120	3	3	3
					СФ	-20	358	3	1600	147	330	1	3	
					СФ	-8	10	4	620					
					ТФ	-23	346	2	120					
					B	+23	37	2	930					
24	7 35	8 05	3	3	B	-5	47	3	230					3
					СФ	+9	259	3	40	145	250	2	4	3
					СФ	+7	318	3	60	48	110	4	3	
					СФ	-9	307	3	160	236	840	1	4	
					СФ	-22	2	3	3500					
					СФ	+7	13	5	1800					
					СФ	-13	43	3	1000					
					ТФ	-22	2	3	50					
					ТФ	+22	44	2	230					
					ТФ	+27	37	2	620					
25	VI. 4	12 30	12 45	2	B	-1	49	3	90					3
					B	-20	60	2	160					
					B	-52	69	2	30					
					B	+20	24	3	50					
					B	+52	331	2	120					
26	5	9 50	10 50	2										3
					СФ	+22	193	3	230	291	250	1	2	
					СФ	+23	245	3	500	358	190	2	2	
					ТФ	-5	195	3	110	257	80	1	3	
					ТФ	+23	214	2	170	240	50	2	3	
					B					232	190	3	4	
					B					70	120	3	3	
					B					98	60	2	3	
					B									
					B									
27	6	4 35	5 15	2										4
					СФ	+23	250	2	190	227	660	2	2	
					СФ	+18	249	2	310	263	280	5	4	
					СФ	+24	235	3	740	118	390	4	3	
					СФ	+31	156	3	190					
					СФ	-53	185	2	430					
					ТФ	+16	253	3	80					
					ТФ	+20	241	3	80					
					ТФ	+23	219	3	140					
					ТФ	+28	153	3	90					
28	7 30	8 05	3	3	B	-17	159	3	140					4

ТАБЛИЦА I TABLE

Дата Date					Длительно существующие образования Quiescent phenomena					Протуберанцы Prominences					Набл. Observ.
	<i>t₁</i>	<i>t₂</i>	<i>q</i>	<i>h</i>	Объект Object	<i>q</i>	<i>l</i>	<i>I</i>	<i>S</i>	<i>p</i>	<i>S</i>	<i>f</i>	<i>I</i>	Набл. Observ.	
1938 VL7	8 ^h 10 ^m	8 ^h 30 ^m	1—2	4	<i>Cф</i>	+ 9°	136°	2	100	230°	310	2	2	3	3
					<i>Cф</i>	-22	168	2	250	121	140	2	3		
					<i>B</i>	-13	133	2	90						
					<i>B</i>	-15	144	2	60						
					<i>B</i>	+12	227	2	90						
8	8 00	8 20	3	3	<i>Cф</i>	+ 9	138	3	560	309	310	4	3	3	3
					<i>Cф</i>	-23	171	3	740	341	220	3	3		
					<i>Cф</i>	+21	185	2	500	149	780	3	4		
					<i>Cф</i>	-17	213	4	230						
					<i>Tф</i>	+18	123	3	90						
					<i>Tф</i>	-41	145	3	160						
					<i>Tф</i>	- 6	194	3	90						
					<i>B</i>	+32	191	2	160						
					<i>B</i>	+24	154	2	110						
					<i>B</i>	-14	154	3	390						
					<i>B</i>	-17	144	3	90						
9	6 05	6 25	3	0	<i>Cф</i>	+17	117	3	1600	311	310	4	4	3	
					<i>Cф</i>	-23	170	2	2300	342	250	3	3		
					<i>Tф</i>	- 6	195	3	140						
					<i>Tф</i>	- 8	197	3	120						
					<i>B</i>	-13	136	3	460						
					<i>B</i>	-17	145	3	90						
					<i>B</i>	-27	145	3	190						
					<i>B</i>	+25	154	3	160						
10	6 00	6 25	3	3	<i>Cф</i>	+17	70	3	60	340	560	4	4	3	
					<i>Cф</i>	+16	116	3	1600	1	380	4	3		
					<i>Cф</i>	-23	170	2	2100	304	60	2	4		
					<i>Cф</i>	+26	187	2	310	87	140	3	3		
					<i>Tф</i>	- 6	195	3	110						
					<i>Tф</i>	- 7	197	3	110						
					<i>Tф</i>	+33	200	2	190						
					<i>B</i>	-14	135	3	420						
					<i>B</i>	-17	145	3	110						
					<i>B</i>	+24	154	3	160						
					<i>B</i>	-27	146	3	210						
11	6 30	7 00	3	2	<i>Cф</i>	+15	126	3	7000	343	430	3	4	3	
					<i>Cф</i>	+14	74	3	140	131	230	4	2		
					<i>Cф</i>	+21	179	4	430						
					<i>B</i>	+28	170	3	170						
					<i>B</i>	-31	147	3	580						
					<i>B</i>	-15	134	4	1000						
					<i>B</i>	-36	108	3	80						
					<i>B</i>	- 3	74	3	370						
					<i>B</i>	+ 2	69	2	280						
					<i>B</i>	+25	65	3	90						

ТАБЛИЦА I TABLE

Дата Date					Длительно существующие образования Quiescent phenomena					Протуберанцы Prominences					Набл. Observ.
	<i>t₁</i>	<i>t₂</i>	<i>q</i>	<i>h</i>	Объект Object	<i>q</i>	<i>l</i>	<i>I</i>	<i>S</i>	<i>p</i>	<i>S</i>	<i>f</i>	<i>I</i>	Набл. Observ.	
1938 VL12	8 ^h 20 ^m	8 ^h 40 ^m	3	2	<i>Cф</i>	+14°	76°	3	190	344°	420	2	3	3	3
					<i>Cф</i>	+17	123	3	4700	272	250	5	2		
					<i>Cф</i>	+21	176	4	330						
					<i>B</i>	+26	65	3	90						
					<i>B</i>	+ 1	67	2	190						
					<i>B</i>	- 1	76	3	350						
					<i>B</i>	-18	130	3	930						
15	6 25	7 00	3	3	<i>Cф</i>	+ 7	33	3	190	70	500	4	4	4	4
					<i>Cф</i>	+ 5	21	4	650	125	440	2	3		
					<i>Cф</i>	- 2	4	3	500	147	870	3	3		
					<i>Cф</i>	-15	57	4	290	262	140	5	3		
					<i>Cф</i>	-21	73	4	750						
					<i>Cф</i>	+15	129	3	1000						
					<i>Cф</i>	+33	132	3	560						
					<i>Tф</i>	- 2	30	2	160						
					<i>Tф</i>	+13	131	3	140						
					<i>B</i>	+25	75	2	620						
					<i>B</i>	+ 7	93	2	310						
16	7 15	7 35	2—3	3	<i>Cф</i>	+ 7	14	4	370	77	400	1	4	3	3
					<i>Cф</i>	+16	41	3	780	148	700	4	2		
					<i>Cф</i>	+21	82	3	250						
					<i>Cф</i>	-19	57	3	560						
					<i>Cф</i>	+15	126	4	390						
					<i>Tф</i>	-26	61	2	50						
					<i>Tф</i>	+12	78	3	50						
17	7 15	7 35	2	4	<i>Cф</i>	+ 6	341	3	120	111	310	2	3	3	3
					<i>Cф</i>	-19	55	2	1500	133	750	3	3		
					<i>Tф</i>	-25	62	2	120	312	780	3	3		
									300	250	3	3			
18	11 40	12 15	2	4	<i>Cф</i>	+ 8	338	4	310	151	740	3	3	3	3
					<i>Cф</i>	+16	333	3	280	115	250	2	2		
					<i>Cф</i>	+17	14	2	390	316	1600	4	4		
					<i>Cф</i>	+ 5	87	2	160	293	500	2	4		
					<i>B</i>	+15	18	3	150						
					<i>B</i>	+16	37	3	110						
					<i>B</i>	+ 3	88	3	60						
					<i>B</i>	- 4	57	3	80						
21	12 45	13 05	2	5	<i>Cф</i>	+ 4	338	3	2800	245	190	2	3	3	3
					<i>Cф</i>	+19	342	3	560						
					<i>B</i>	+30	305	4	1200						
					<i>B</i>	-37	71	3	90						

ТАБЛИЦА I TABLE

Дата Date					Длительно существующие образования Quiescent phenomena				Протуберанцы Prominences				Набл. Observ.	
	<i>t</i> ₁	<i>t</i> ₂	<i>q</i>	<i>h</i>	Объект Object	φ	<i>t</i>	<i>I</i>	<i>S</i>	<i>p</i>	<i>S</i>	<i>f</i>	<i>I</i>	
1938 VI. 23	11 ^h 45 ^m	12 ^h 00 ^m	2	3	СФ	+21°	337°	3	370	275°	370	4	3	3
					СФ	+5	341	3	840	265	230	2	4	
					СФ	+7	5	2	390	110	560	1	3	
					ТФ	+12	27	3	50					
					В	+29	307	4	1600					
					В	+2	282	3	120					
24	8 05	8 25	2	2	СФ	+20	340	2	1400					3
					СФ	+5	340	2	740					
					В	+22	310	3	1600					
					В	0	279	2	230					
25	6 20	6 40	3	3	СФ	+5	340	3	740	79	60	2	3	3
					СФ	+10	252	1	140	85	40	5	3	
					СФ	+22	337	2	390					
					СФ	-6	232	3	90					
					В	+17	315	4	1200					
					В	-37	241	3	280					
					В	+13	279	3	90					
27	6 35	7 00	4	2	СФ	-5	230	4	50	325	250	3	3	3
					СФ	-20	216	3	140	275	140	5	3	
					СФ	+21	335	3	620	116	90	2	3	
					СФ	+4	337	3	140					
					СФ	+8	249	3	250					
					СФ	-8	279	3	430					
					В	+20	310	2	3100					
					В	+11	282	3	20					
					В	-13	237	2	90					
					В	-37	239	4	350					
28	5 55	6 25	4	4	СФ	-6	192	3	140	323	310	3	3	3
					СФ	-18	221	4	190	272	90	5	3	
					СФ	-6	282	3	470	99	50	4	3	
					СФ	-16	251	2	140					
					СФ	+20	340	3	250					
					СФ	+25	227	4	700					
					СФ	-12	201	4	560					
					ТФ	-22	189	3	230					
					ТФ	-3	281	2	35					
					ТФ	+24	219	3	20					
					В	+14	312	3	2800					
					В	-17	242	4	460					
					В	+22	201	3	120					

ТАБЛИЦА I TABLE

Дата Date					Длительно существующие образования Quiescent phenomena				Протуберанцы Prominences				Набл. Observ.	
	<i>t</i> ₁	<i>t</i> ₂	<i>q</i>	<i>h</i>	Объект Object	φ	<i>t</i>	<i>I</i>	<i>S</i>	<i>p</i>	<i>S</i>	<i>f</i>	<i>I</i>	
1938 VI. 29	10 ^h 00 ^m	10 ^h 20 ^m	2		СФ	-10°	198°	3	620	55°	460	3	3	3
					СФ	-18	218	3	540					
					СФ	+18	335	3	250					
					ТФ	+23	219	3	60					
					ТФ	-20	184	3	110					
					В	-39	235	3	140					
					В	+12	310	3	390					
30	8 20	8 40	3	4	СФ	+31	226	3	250	54	160	2	3	3
					СФ	-8	195	3	1100					
					СФ	-15	211	3	1000					
					СФ	+17	321	4	140					
					ТФ	-10	203	2	60					
					ТФ	-21	220	3	50					
					В	+37	171	3	250					
					В	-37	235	2	350					
					В	-31	286	1	620					

Примечание: 1 февраля, 8 и 21 апреля, 5 мая, 29 июня наблюдения производились сквозь cirri.

Note: On February 1, April 8 and 21, May 5, June 29 the observations were made through cirri.

ТАБЛИЦА II TABLE

Дата Date	<i>t</i> ₁	<i>t</i> ₂	φ	<i>I</i>	<i>I</i>	<i>S</i>	<i>V_r</i>	Кратковременные образования. Short-lived objects		Набл. Observ.	
IV. 10	6 ^h 54 ^m	7 ^h 25 ^m	+28°	168°	5	190	-42	Извержение Eruption		3	
	25	7 52	8 30	-18	0	4	40	Светл. точка Bright point		3	
	25	7 45	8 40	-43	304	4	930	-37	Эruptивный протуберанец Eruptive prominence		3
V. 17	6 58	7 19	-26	289	4	740	-62	"		3	
	12 45	13 15	-8	186	4	—	-30(+30)	"		3	